

## اثر دمای آزمون خزش بر رفتار خزشی چوب اصلاح گرمایی شده افرا پلت

فائزه فرهادی<sup>۱</sup>، سید مجید ذبیحزاده<sup>۲</sup> و فروغ دستوریان<sup>۳\*</sup>

- کارشناس ارشد، دانشگاه علوم کشاورزی و منابع طبیعی ساری، گروه مهندسی چوب و فراورده‌های سلولزی، ساری، ایران  
- دانشیار، دانشگاه علوم کشاورزی و منابع طبیعی ساری، گروه مهندسی چوب و فراورده‌های سلولزی، ساری، ایران  
\* - نویسنده مسئول، استادیار، دانشگاه علوم کشاورزی و منابع طبیعی ساری، گروه مهندسی چوب و فراورده‌های سلولزی، ساری، ایران

پست الکترونیک: f.dastoorian@sanru.ac.ir

تاریخ دریافت: بهمن ۱۳۹۷ تاریخ پذیرش: اردیبهشت ۱۳۹۸

### چکیده

کاربرد گسترده چوب‌های اصلاح گرمایی شده در مصارف بیرونی و محیط‌های با رطوبت نسبی و دمای بالا، مطالعه ویژگی‌های مکانیکی و رفتار خزشی این فراورده را حائز اهمیت نموده است. هدف کلی این پژوهش بررسی اثر دمای آزمون بر رفتار خزشی چوب اصلاح گرمایی شده افرا پلت بود. اصلاح گرمایی بر روی نمونه‌های خشک چوب افرا در سه سطح دمایی ۱۶۰، ۱۷۵ و ۱۹۰ درجه سانتی‌گراد انجام شد. آزمون خمس استاتیک چهار نقطه‌ای برای تعیین میزان بار موردنبیاز در آزمون خزش، در سه تکرار در هر سطح دمای اصلاح انجام شد. برای انجام آزمون‌های خزش، سه سطح دمای آزمون ۲۱، ۴۰ و ۶۰ درجه سانتی‌گراد و مدت زمان آزمون ۶۵ ساعت در نظر گرفته شد. نتایج آزمون خمس نشان داد اصلاح گرمایی موجب کاهش مدول گسیختگی نسبت به نمونه‌های شاهد گردید؛ اما مقدار مدول الاستیسیته تغییر معناداری نیافت. نتایج آزمون خزشی نشان داد با افزایش دمای آزمون، مقادیر عکس مدول آنی و خزشی افزایش یافت. با افزایش دمای اصلاح نیز مقدار عکس مدول خزشی افزایش یافت. بررسی ضریب کارایی ضد خزش برای ارزیابی تأثیر دمای آزمون بر میزان خزش در سطوح مختلف اصلاح، نشان داد که اصلاح گرمایی در دمای ۱۶۰ درجه سانتی‌گراد به بهبود مقاومت در برابر خزش در دمای آزمون بالاتر منجر شد که علت این امر به افزایش بلورینگی سلولز و واکنش‌های تراکمی لیگنین نسبت داده شد؛ به طوری که منجر به پلاستیکی شدن کمتر چوب در دمای آزمون بالاتر گردید.

واژه‌های کلیدی: اصلاح گرمایی، رفتار خزشی، دمای آزمون خزش

زمینه بهبود ماهیت فیزیکی و مکانیکی چوب با روش‌های فاقد آسیب‌های زیست‌محیطی انجام شده است. از جمله این روش‌ها اصلاح گرمایی است که روشی مؤثر برای اصلاح چوب بدون استفاده از مواد شیمیایی است (Kocaefe *et al.*, 2007). اصلاح گرمایی با تغییر شیمیایی ساختار دیواره سلولی طی گرمادهی، به آب‌گریزی چوب می‌انجامد (Hakkou *et al.*, 2005; Repellin & Guyonnet, 2005).

### مقدمه

چوب به عنوان یکی از مهمترین منابع تجدیدشونده کره زمین، ماده مهندسی و ساختمانی با ظاهری زیبا و شکل پذیری خوب برای تزئینات داخلی و خارجی می‌باشد. چوب‌های اصلاح نشده در شرایط محیطی به وسیله فاکتورهای مختلفی مانند نور، رطوبت، گرما و آلاینده‌ها تخریب می‌شوند (Gunduz *et al.*, 2009).

بر ویژگی‌های مکانیکی، تاکنون تنها دو تحقیق در زمینه رفتار خزشی چوب‌های اصلاح گرمایی شده انجام شده است (Hoseinzadeh *et al.*, 2013; Colmars *et al.*, 2009)

Hoseinzadeh و همکاران (۲۰۱۹) رفتار خزشی چوب اصلاح گرمایی شده راش را در سه سطح دمای اصلاح گرمایی (۱۶۰، ۱۷۵ و ۱۹۰ درجه سانتی‌گراد) و سه سطح رطوبت نسبی (۵۵، ۷۰ و ۹۰ درصد) موردمطالعه قراردادند. آنان دریافتند با افزایش دمای اصلاح گرمایی و افزایش رطوبت نسبی، عکس مدول آنی و عکس مدول خزشی افزایش یافت. آنان چنین گزارش کردند که اصلاح گرمایی تنها در دمای ۱۶۰ درجه سانتی‌گراد می‌تواند رفتار خزشی را بهبود چوب در رطوبت نسبی‌های بالا بهبود بخشد. علت این امر را به افزایش بلورینگی سلولز و تخریب ساختاری کمتر در این دما در کنار اثر مثبت اصلاح گرمایی بر کاهش جذب آب نسبت دادند.

Colmars و همکاران (۲۰۰۸) در مطالعه رفتار خزشی چوب اصلاح گرمایی شده صنوبر را به مدت ۱۰ ساعت موردمطالعه قراردادند. آنان دریافتند که اصلاح گرمایی در دمای ۱۵۰ درجه سانتی‌گراد در رطوبت نسبی بالا، تأثیر مثبتی بر رفتار خزشی دارد.

با توجه به اینکه تاکنون تحقیقی در زمینه اثر دمای آزمون بر رفتار خزشی چوب‌های اصلاح گرمایی شده گزارش نشده است، در این تحقیق اصلاح گرمایی در سه سطح دمایی (۱۶۰، ۱۷۵ و ۱۹۰ درجه سانتی‌گراد) و اثر دمای آزمون خزش در سه سطح (۴۰، ۶۰ و ۲۱ درجه سانتی‌گراد) بر رفتار خزشی این چوب‌ها مطالعه گردید.

## مواد و روش‌ها

چوب افرا، به عنوان یکی از پرکاربردترین چوب‌ها در مصارف صنعتی است که به دلیل دوام طبیعی کم، کاربرد گسترده‌ای در مصارف بیرونی ندارد. در این پژوهش، الوار چوب افرا پلت از یک کارگاه چوب‌بری در شهرستان ساری تهیه شد و پس از خشک شدن، به ابعاد موردنیاز برای آزمون‌های خمی و خزشی برش داده شد.

اصلاح لیگین (Esteves *et al.*, 2008; Nguila *et al.*, 2007)، افزایش بلورینگی سلولز (Yildiz *et al.*, 2006) و تخریب شدید همی‌سلولز (Yildiz *et al.*, 2006; Nuopponen *et al.*, 2004) از جمله تغییرات ساختاری ناشی از اصلاح گرمایی در چوب است.

تحقیقات انجام شده در زمینه خواص فیزیکی، مکانیکی و زیستی چوب‌های اصلاح گرمایی شده نشان داد که این اصلاح موجب کاهش جذب آب، بهبود ثبات ابعاد و دوام زیستی Esteave *et al.*; Sahin Kol *et al.*, 2015) (Boonstra *et al.*, 2006:2007) ساختاری چوب هنگام اصلاح گرمایی، افت قابل ملاحظه Korkut *et al.*, 2008) ویژگی‌های مکانیکی را به همراه دارد (Boonstra *et al.*, 2007; Esteave *et al.*, 2007).

با توجه به کاربرد گسترده چوب‌های اصلاح گرمایی شده در مصارف بیرونی از قبیل مبلمان باگی و همچنین در مصارفی با رطوبت نسبی و دمای بالا همانند نیمکت‌های سونا و یا کابینت آشیزخانه، مطالعه ویژگی‌های مکانیکی و رفتار خزشی آنها بهویژه در دما و رطوبت نسبی بالا از اهمیت بالایی برخوردار می‌باشد.

خرش تحت عنوان افزایش وابسته به زمان کرنش تحت بار ثابت تعريف می‌گردد. خرس در چوب و مواد مرکب چوبی تحت تأثیر رطوبت، سطح تنفس، شرایط بارگذاری و دما قرار دارد. ویژگی‌های مکانیکی چوب، به عنوان یک پلیمر طبیعی به دما بستگی دارد. به عبارت دیگر زمانی که اجزای پلیمری چوب در وضعیت شیشه‌ای هستند، حرکت اجزای زنجیره‌ای مولکولی تقریباً صفر است و جنبش مولکول‌ها در جای ثابت انجام می‌شود. با افزایش دما، جنبش مولکول‌ها افزایش یافته و زنجیره‌ای مولکولی فاصله‌دار می‌شوند و بین آنها نیروی دافعه ایجاد می‌شود. اثر دما بهویژه در رطوبت نسبی بالاتر مشهودتر است (Engelund & Salmen, 2012); بنابراین در بارگذاری کوتاه‌مدت و بلندمدت، در نظر گرفتن اثر دما بر رفتار خزشی و گسیختگی خرس (رفتار دوام بار) در چوب امری اجتناب ناپذیر است.

با وجود تحقیقات گسترده در زمینه تأثیر اصلاح گرمایی

(ASTM D6815) در سطح تنش ۲۵ درصد تنش نهایی برای مدت زمان حداقل ۶۵ ساعت در سه سطح دمایی ۲۱، ۴۰ و ۶۰ درجه سانتی گراد انجام شد. برای بررسی اثر دما بر رفتار خزشی، محفظه‌ای فلزی با دیواره نسبتاً عایق شده با الیاف شیشه ساخته شد. برای تأمین دمای آزمون، از المنت‌های حرارت الکتریکی مجهز به فن جریان متقطع و برای کنترل دما از ترموموکوپل و ترموموستات دیجیتال Sunward (ساخت کشور چین) استفاده گردید. بار لازم توسط وزنه‌های فولادی اعمال شد و مقدار خیز نمونه‌های آزمونی توسط اکستنسومتر unimeasure با محدوده اندازه‌گیری  $254\text{ mm}$  با دقت  $\pm 0.13$  ساخت کشور آمریکا استفاده گردید. از یک داده‌بردار و یک نرم‌افزار جمع‌آوری داده برای ثبت داده‌های خیز در واحد زمان استفاده شد. قابلیت داده‌برداری این داده‌بردار، یک داده در ثانیه می‌باشد. شکل ۱ تصویر شماتیک محل قرارگیری آکستنسومتر و نحوه اعمال بار و ابعاد نمونه‌های آزمون خزش را نشان می‌دهد. تعداد تکرار برای آزمون‌های خزش در هر سطح دمایی ۵ تکرار بوده است.

به‌منظور مقایسه اثر دما بر رفتار خزشی در هر سطح دمایی (ACE) اصلاح گرمایی، از فاکتوری به نام کارآیی ضدخزش (ACE) استفاده گردید. این فاکتور مطابق رابطه ۳ محاسبه گردید.

$$ACE = \left( J_{unt} - J_t \right) / J_{unt} \times 100 \quad (\text{رابطه } 3)$$

که  $J_{unt}$  عکس مدول نمونه‌های شاهد و  $J_t$  عکس مدول نمونه‌های اصلاح گرمایی شده است.

### تجزیه و تحلیل آماری

تجزیه و تحلیل داده‌های مقاومت خمشی و آزمون خزش در قالب طرح کاملاً تصادفی و گروه‌بندی میانگین‌ها توسط آزمون چنددامنه‌ای دانکن با استفاده از نرم‌افزار SPSS انجام شد.

### اصلاح گرمایی

برای انجام اصلاح گرمایی، نمونه‌های آزمونی در آون آزمایشگاهی در سه سطح دمایی ۱۶۰، ۱۷۵ و ۱۹۰ درجه سانتی گراد برای مدت ۲۴ ساعت قرار داده شدند.

### آزمون خمش استاتیک چهار نقطه‌ای

با توجه به اینکه آزمون خمش استاتیک برای پیدا کردن سطح بار آزمون خزش انجام شد، ابعاد نمونه و شرایط اعمال بار مطابق استاندارد آزمون خزش ASTM D 6815 تعیین گردید. ۲۵ درصد مقدار میانگین مدول گسیختگی در نمونه‌های شاهد و نمونه‌های تیمارشده در سه سطح دما محاسبه گردید تا میزان بار مورد نیاز برای آزمون خزش تعیین گردد (به دلیل اینکه سطح تنش ۲۵ درصد تنش نهایی، سطح تنش متداول برای برآورد ضریب اطمینان مرتبط با خیز Laufenberg *et al.*, ۱۹۹۹). برای انجام این آزمون از ماشین Santam مدل-STM ۱۹۹۹ مجهز به سیستم رایانه جمع‌آوری داده استفاده گردید. فاصله بین دو تکیه‌گاه  $405\text{ mm}$  و فاصله بین دو رأس بارگذاری  $135\text{ mm}$  بود (فاصله بین دو رأس بارگذاری یک‌سوم فاصله بین دو تکیه‌گاه در نظر گرفته شد). مقاومت خمشی و مدول الاستیسیته به ترتیب به صورت مدول گسیختگی (MOR) و مدول خمشی (MOE) بیان شد. مقادیر مقاومت خمشی و کرنش-خمشی به ترتیب بوسیله روابط ۱ و ۲ محاسبه گردید.

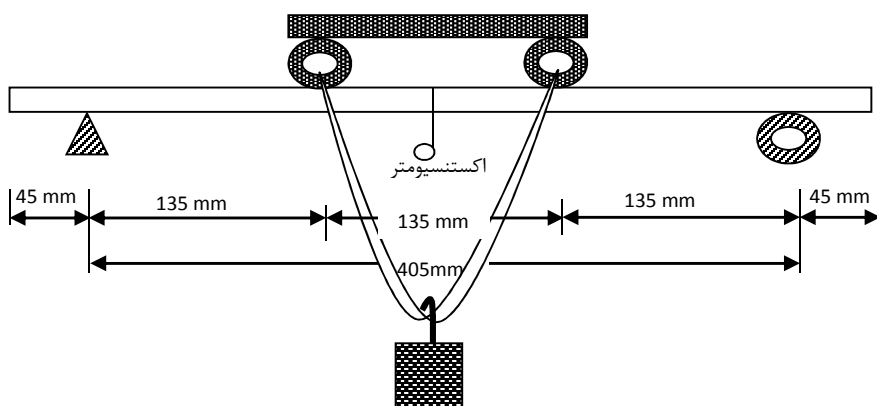
$$MOR = (pl/bh^2) \quad (\text{رابطه } 1)$$

$$\varepsilon_b = 4.7Dh/l^2 \quad (\text{رابطه } 2)$$

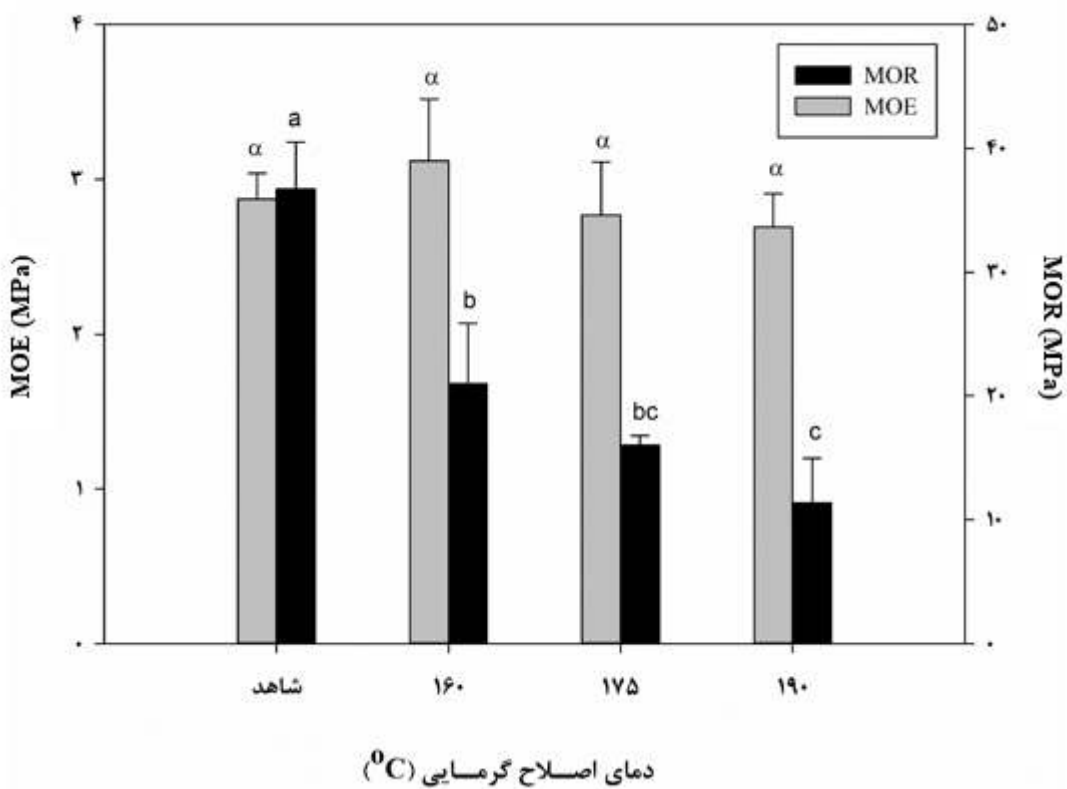
که  $p$  مقدار بار حداقل،  $L$  فاصله بین دو تکیه‌گاه،  $b$  عرض سطح مقطع نمونه،  $h$  ارتفاع سطح مقطع نمونه،  $D$  مقدار خیز و  $\varepsilon_b$  کرنش خمشی است.

### آزمون خزش

آزمون خزش خمشی چهار نقطه‌ای (مطابق استاندارد



شکل ۱- تصویر شماتیک اعمال بار آزمون خزش



شکل ۲- مقادیر میانگین مدول خمشی و مدول گسیختگی در دماهای اصلاح مختلف

(گروه‌بندی دانکن برای مدول گسیختگی با حروف انگلیسی و برای مدول خمشی با حروف یونانی نشان داده شده است).

دماهای ۱۶۰، ۱۷۵ و ۱۹۰ درجه سانتی‌گراد نسبت به نمونه شاهد به ترتیب  $67/05$ ،  $48/37$  و  $34/48$  درصد کاهش یافت. تجزیه و تحلیل آماری نشان داد که افزایش دماهای اصلاح به کاهش - معنی دار مدول گسیختگی ( $p=0.001$ ) منتهی شد، اما اثر معنی داری بر مدول خمشی نداشت ( $p=0.55$ ).

## نتایج

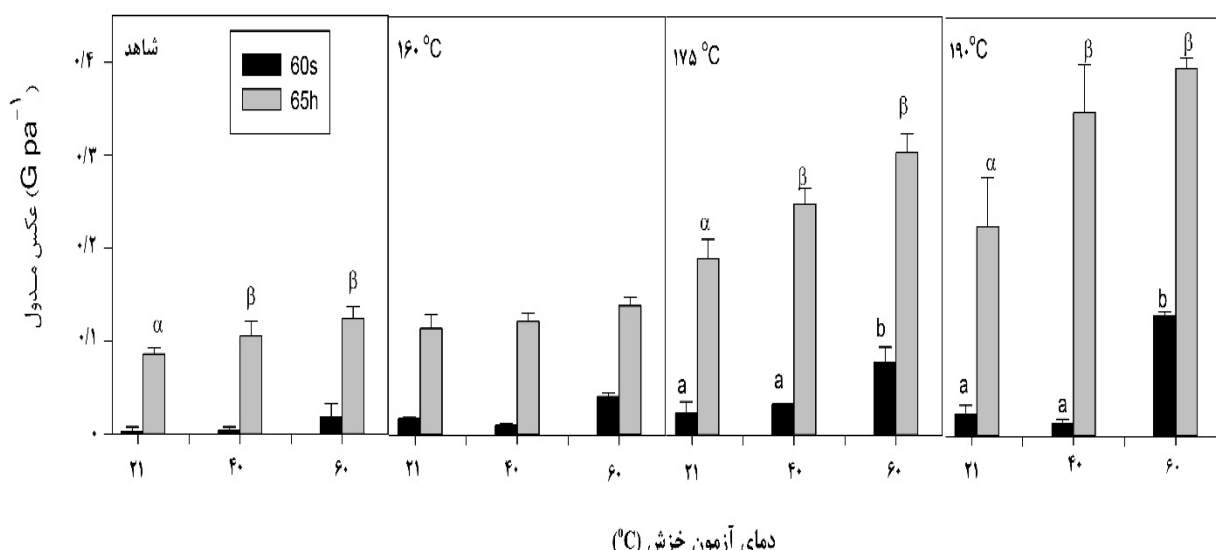
شکل ۲ مقادیر میانگین مدول خمشی و مدول گسیختگی را در سه سطح دماهای اصلاح نشان می‌دهد. همان‌طور که مشاهده می‌شود با افزایش دماهای اصلاح گرمایی، مدول گسیختگی کاهش یافت. مدول گسیختگی نمونه‌های اصلاح شده در

می‌یابد که این امر برای عکس مدول در هر دو زمان ۶۰ ثانیه (عکس مدول آنی) و ۶۵ ساعت صادق است.

شکل ۵ کارایی ضد خزش نمونه‌های اصلاح شده در سه سطح دمایی ۱۶۰، ۱۷۵ و ۱۹۰ درجه سانتی‌گراد را نشان می‌دهد. کارایی ضد خزش معیار خوبی برای ارزیابی تأثیر دمای آزمون بر میزان خزش در سطوح مختلف اصلاح می‌باشد. همان‌طور که مشاهده می‌شود در همه سطوح اصلاح گرمایی موجب کاهش مقاومت در برابر خزش در مقایسه با نمونه‌های شاهد می‌شود. نمونه‌های اصلاح شده در دمای ۱۶۰ درجه سانتی‌گراد در دمای آزمون ۴۰ و ۶۰ درجه سانتی‌گراد نسبت به دمای اتاق مقاومت در برابر خزش بالاتری داشته‌اند ولی نمونه‌های اصلاح شده در دمای ۱۷۵ و ۱۹۰ درجه سانتی‌گراد در دماهای آزمون بالاتر از دمای اتاق، مقاومت در برابر خزش کمتری نشان داده‌اند.

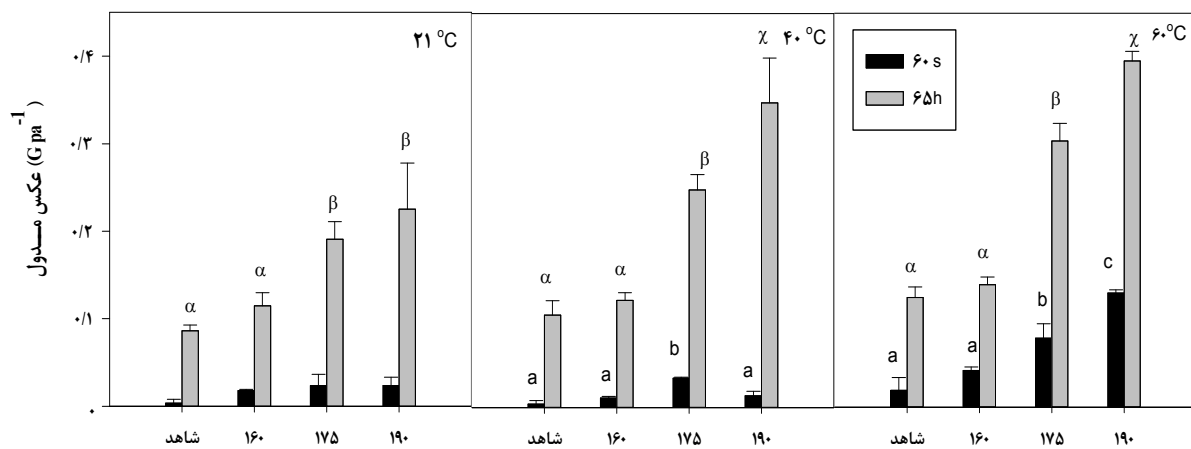
شکل ۳ مقادیر عکس مدول را به صورت تابعی از دمای آزمون برای سطوح شاهد و اصلاح شده در دماهای ۱۶۰، ۱۷۵ و ۱۹۰ درجه سانتی‌گراد نشان می‌دهد. همان‌طور که در شکل مشاهده می‌شود با افزایش دمای آزمون مقادیر عکس مدول افزایش می‌یابد که این امر برای عکس مدول در هر دو زمان ۶۰ ثانیه (عکس مدول آنی) و ۶۵ ساعت (عکس مدول زمانی) مصدق دارد. هرچند بررسی آماری نشان داد در نمونه‌های شاهد اثر دما بر عکس مدول آنی ( $p=0.096$ ) و در نمونه‌های اصلاح شده در دمای ۱۶۰ درجه سانتی‌گراد اثر دما بر عکس مدول خزشی معنادار نبوده است ( $p=0.285$ ).

شکل ۴ مقادیر عکس مدول را به صورت تابعی از دمای اصلاح گرمایی در سه سطح دمایی ۴۰، ۲۱ و ۶۰ درجه سانتی‌گراد نشان می‌دهد. در شکل مشاهده می‌شود که با افزایش دمای اصلاح گرمایی مقادیر عکس مدول افزایش



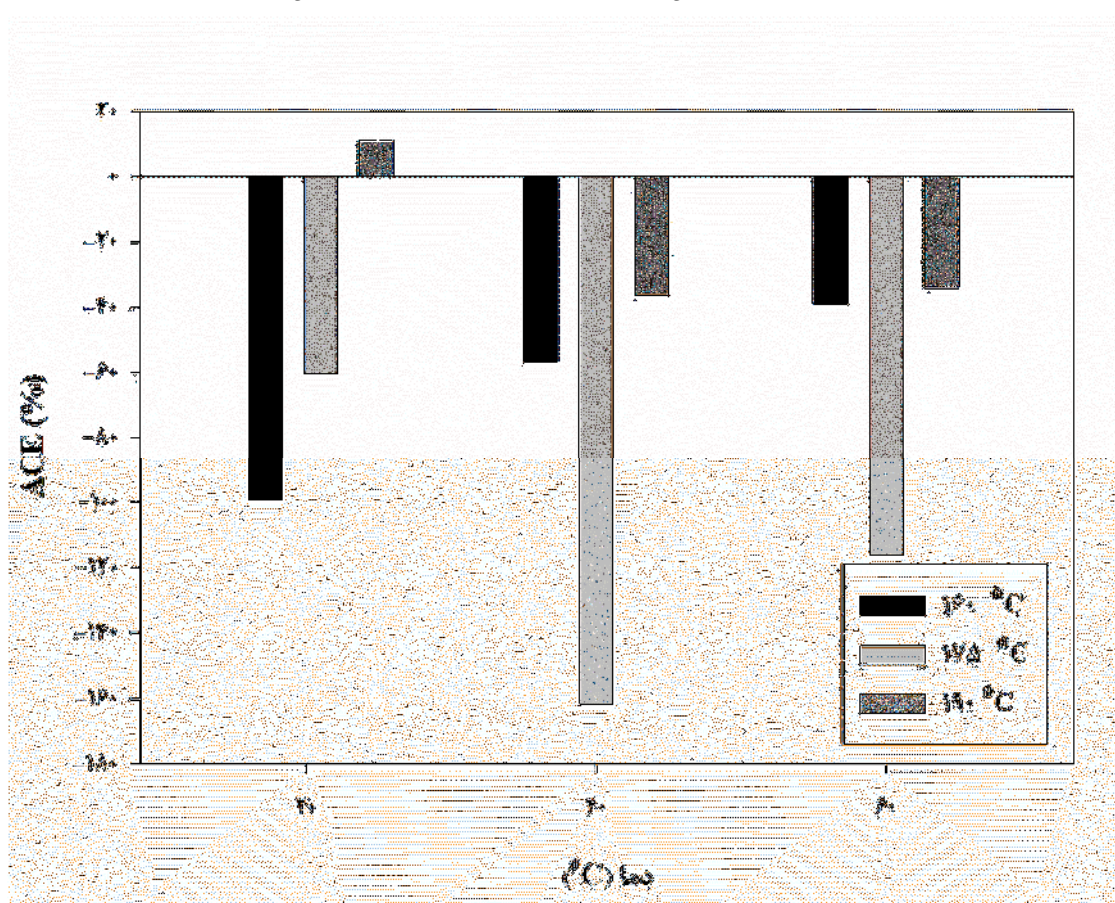
شکل ۳- مقادیر عکس مدول خزشی نمونه‌های شاهد و اصلاح گرمایی شده به صورت تابعی از دمای آزمون (به گروه‌بندی‌های مشابه توجه کنید)

(نتایج گروه‌بندی دانکن برای عکس مدول ۶۰ ثانیه با حروف انگلیسی و برای عکس مدول ۶۵ ساعت با حروف یونانی نشان داده شده است)



شکل ۴- مقادیر عکس مدول خشی نمونه‌ها بهصورت تابعی از دمای اصلاح گرمایی

(نتایج گروه‌بندی دانکن برای عکس مدول ۶۰ ثانیه با حروف انگلیسی و برای عکس مدول ۶۵ ساعت با حروف یونانی نشان داده شده است)



شکل ۵- کارآیی ضد خش بهصورت تابعی از دمای آزمون خش

## بحث

### مدول خمی و مدول گسیختگی

اصلاح گرمایی موجب کاهش مدول گسیختگی نسبت به نمونه‌های شاهد شد. علت کاهش مدول گسیختگی را می‌توان به تخریب اجزای ساختاری دیواره سلول و افت جرم متعاقب آن نسبت داد. افزایش دمای اصلاح گرمایی به کاهش بیشتر مدول گسیختگی انجامید، به طوری که در دمای ۱۶۰ درجه سانتی گراد میزان افت مدول گسیختگی در حدود ۳۳ درصد، در دمای ۱۷۵ درجه سانتی گراد در حدود ۵۲ درصد و در دمای ۱۹۰ درجه سانتی گراد در حدود ۶۵ درصد بوده است. محققان پیشین نیز کاهش مدول گسیختگی را (از ۲۰ درصد تا ۸۰ درصد) در اثر اصلاح گرمایی گزارش کرده‌اند که میزان این کاهش با توجه به گونه، دما و زمان اصلاح متفاوت بوده است (Bengtsson *et al.*, 2002, Stamm *et al.*, 1946).

افت خواص مکانیکی در چوب‌های اصلاح گرمایی شده می‌تواند به تشکیل مواد شیمیایی اسیدی مانند اسید استیک و اسید فرمیک ناشی از تخریب همی‌سلولز ارتباط داشته باشد. این مواد اسیدی کربوهیدرات‌ها را تجزیه و زنجیرهای پلیمری را کوتاه‌تر می‌کنند (Boonstra *et al.*, 2009). Ayrilmis *et al.*, 2009 و Bloomberg (2007) علت اصلی افت مقاومت خمی و مقاومت کششی را به تخریب همی‌سلولزها نسبت داده‌اند. هرچند واکنش‌های تراکمی لیگنین و ایجاد اتصالات عرضی و همچنین افزایش بلورینگی سلولز تأثیر مثبتی در خواص مکانیکی دارد، اما درنهایت کاهش دانسیته و تخریب اجزای ساختاری به افت مقاومت می‌انجامد (Esteves و همکاران، 2008).

همچنین نتایج آزمون خمی استاتیک نشان داد که با افزایش دمای اصلاح گرمایی، مدول الاستیسته تغییر معناداری نیافته است. حتی در سطح دمای اصلاح ۱۶۰ درجه سانتی گراد، افزایش اندک مدول نیز نسبت به نمونه‌های شاهد مشاهده شده است. Stamm و همکاران (۱۹۴۶) نیز نتایج مشابهی را گزارش کرده‌اند. علت این امر را می‌توان به افزایش بلورینگی سلولز واکنش‌های تراکمی لیگنین نسبت داد که با وجود تخریب اجزای ساختاری چوب، به ویژه در دماهای بالا،

موجب عدم تغییر مدول الاستیسته شده است. البته برخی محققان کاهش MOE را در اثر اصلاح گرمایی گزارش کرده‌اند (Kim *et al.*, 1998; Mburu *et al.*, 2008).

**تأثیر اصلاح گرمایی و دمای آزمون بر مقادیر عکس مدول و کارآیی ضدخرش**

نتایج نشان داد که با افزایش دمای آزمون مقادیر عکس مدول افزایش می‌یابد که این امر برای عکس مدول در هر دو زمان ۶۰ ثانیه (عکس مدول آنی) و ۶۵ ساعت (عکس مدول خزشی) مصدق داشت. این نتیجه دور از انتظار نبود، زیرا افزایش دمای آزمون به جنبش بیشتر مولکول‌ها و متعاقباً خرش بیشتر می‌انجامد.

بررسی آماری نشان داد در نمونه‌های شاهد اثر دما بر عکس مدول آنی و در نمونه‌های اصلاح شده در دمای ۱۶۰ درجه سانتی گراد، اثر دما بر عکس مدول خزشی معنادار نبوده است. علت این امر را می‌توان به اثر جبرانی افزایش بلورینگی سلولز و برقراری اتصالات عرضی در لیگنین و ایجاد واکنش‌های تراکمی در دمای اصلاح ۱۶۰ درجه سانتی گراد نسبت داد که با وجود تخریب اجزای سازنده دیواره سلولی، سبب بی‌تأثیر شدن افزایش دمای آزمون بر خرش می‌شود.

همچنین با افزایش دمای اصلاح گرمایی مقادیر عکس مدول افزایش یافت که این امر برای عکس مدول در هر دو زمان ۶۰ ثانیه (عکس مدول آنی) و ۶۵ ساعت مصدق داشت. در دماهای بالاتر اصلاح با وجود افزایش بلورینگی، تخریب ساختار چوب و ایجاد ترک‌های ریز در دیواره سلولی تشدید شده و به افزایش عکس مدول می‌انجامد.

بررسی ضرایب کارآیی ضدخرش به منظور ارزیابی تأثیر دمای آزمون بر میزان خرش نشان داد در همه سطوح دمایی، اصلاح گرمایی موجب کاهش مقاومت در برابر خرش در مقایسه با نمونه‌های شاهد شده است. نمونه‌های اصلاح شده در دمای ۱۶۰ درجه سانتی گراد در دمای آزمون ۴۰ و ۶۰ درجه سانتی گراد نسبت به دمای اتاق مقاومت در برابر خرش بالاتری داشته‌اند ولی نمونه‌های اصلاح شده در دمای ۱۷۵ و ۱۹۰ درجه سانتی گراد در دماهای آزمون بالاتر مقاومت در

این امر را می‌توان به تخریب بیشتر اجزای دیواره سلولی در این سطوح اصلاح گرمایی و ایجاد حفره‌های بیشتر در دیواره سلولی نسبت داد که در دماهای آزمون بالاتر هنگام خروج، فضای کافی برای حرکت بیشتر مولکول‌ها فراهم کرده و به خروج بیشتر منتهی می‌گردد.

### منابع مورد استفاده

- Ayrilmis, N., Laufenberg, T., L. and Winandy, J., E., 2009. Dimensional stability and creep behavior of heat-treated exterior medium density fiberboard. European Journal of Wood and Wood Products. 67: 287-295.
- Bengtsson, C., Jermer, J., and Brem, F., 2002. Bending strength of heat-treated spruce and pine timber, In: proceeding of the International Research Group Wood Preservation, Section 4-Processes, № IRG/WP 02-402420.
- Boonstra, M., Pizzi, A., Zomers, F., Ohlmeyer, M. and Paul, W., 2006. The effects of a two stage heat treatment process on the properties of particleboard. Holz als Roh-und Werkstoff, 64: 157-164.
- Boonstra, M., and Blomberg, J., 2007. Semi-isostatic densification of heat- treated radiata pine. Wood Science Technology, 41, 607-617.
- Colmars, J., Nakano, T., Yano, H. and Gril, J., 2008, Creep properties of heat treated wood in radial direction, joint meeting of COST Action.
- Dastoorian, F., Farhadi, F., Hoseinzadeh, F. and Zabihzadeh, S. M., 2018. Effect of thermal modification on chemical and physical properties of Iranian beech (*fagus orientalis*) and Velvet maple (*Acer velutinum*) wood. Iranian Journal of Wood and paper science research, 33(1):142-154.
- Engelund, E. T., and Salmen, L., 2012. Tensile creep and recovery of Norway spruce influenced by temperature and moisture. Holzforschung, 66 (8), 959- 965.
- Esteves, B., Domingos, I. and Pereira, H., 2007. Improvement of technological quality of eucalypt wood by heat treatment in air at 170-200 °C. Forest Product Journal, 57: 47-52.
- Esteaves, A.V., Marques, H., Domingos, I and Pereira, H., 2007. Influence of steam heating on the properties of Pine (*pinus pinaster*) and eucalypt (*Eucalyptus globulus*) wood. Wood science technology, 41:193- 207.
- Esteves, B., Graca, J. and Pereira, H., 2008. Extractive composition and summative chemical analysis of thermally treated eucalypt wood. Holzforschung,

برابر خروج کمتری نشان داده‌اند؛ بنابراین می‌توان گفت اصلاح گرمایی در دمای ۱۶۰ درجه سانتی‌گراد به بهبود مقاومت در برابر خروج در دماهای آزمون بالاتر می‌انجامد که علت آن را می‌توان به افزایش بلورینگی سلولز و واکنش‌های تراکمی لیگنین نسبت داد که منجر به پلاستیکی شدن کمتر لیگنین در دماهای آزمون بالاتر می‌شود. چوب‌های اصلاح گرمایی شده در دماهای ۱۷۵ و ۱۹۰ درجه سانتی‌گراد، در دمای آزمون خروج بالاتر از دمای اتاق، مقاومت در برابر خروج کمتری را نشان دادند که علت این امر را می‌توان به تخریب بیشتر اجزای دیواره سلولی در این سطوح اصلاح گرمایی و ایجاد حفره‌های بیشتر در دیواره سلولی نسبت داد که در دماهای آزمون بالاتر هنگام خروج، فضای کافی برای حرکت بیشتر مولکول‌ها فراهم کرده و به خروج بیشتر منتهی می‌گردد.

### نتیجه‌گیری

- اصلاح گرمایی موجب کاهش معنادار مدول گسیختگی نسبت به نمونه‌های شاهد گردید؛ اما مقدار مدول الاستیسیته تغییر معناداری نیافت. افزایش دمای اصلاح به کاهش مدول گسیختگی انجامید، به‌طوری‌که در دمای ۱۶۰ درجه سانتی‌گراد میزان افت مدول گسیختگی در حدود ۳۳ درصد، در دمای ۱۷۵ درجه سانتی‌گراد در حدود ۵۲ درصد و در دمای ۱۹۰ درجه سانتی‌گراد در حدود ۶۵ درصد بود.
- با افزایش دمای آزمون مقدار عکس مدول آنی و خروجی افزایش یافت. به‌طوری‌که با افزایش دمای اصلاح گرمایی نیز مقدار عکس مدول آنی و خروجی افزایش یافت.
- اصلاح گرمایی در دمای ۱۶۰ درجه سانتی‌گراد به بهبود مقاومت در برابر خروج در دماهای آزمون بالاتر انجامید که علت آن را می‌توان به افزایش بلورینگی سلولز و واکنش‌های تراکمی لیگنین نسبت داد که به پلاستیکی شدن کمتر چوب در دماهای آزمون بالاتر منجر می‌شود.
- چوب‌های اصلاح گرمایی شده در دماهای بالاتر از ۱۶۰ درجه سانتی‌گراد، در دمای آزمون خروج بالاتر از دمای اتاق، مقاومت در برابر خروج کمتری را نشان دادند که علت

- mechanical properties of Grevilla robusta wood. *Polymer Degradation and Stability*, 93: 401-405.
- Laufenberg, T.L., Palka, L.C and Nutt, J.D., 1994. Creep and creep rupture behavior of wood based structural panels, ForinteK Canada Crop.
- Naguila Inari, G., Petrissans, M. and Gerardin, P., 2007. Chemical reactivity of heat treated wood. *Wood Science and Technology*, 41: 157-168.
- Nuopponen, M., Vuorinen, T., Jamsa, S. and Viitaniemi, P., 2004. Thermal modifications in softwood studied by FT-IR and UV resonance Raman spectroscopies. *Journal of Wood Chemistry and Technology*, 24(1): 13-26.
- Repellin, V. and Guyonnet, R., 2005. Evaluation of heat-treated wood swelling by differential scanning calorimetry in relation to chemical composition. *Holzforschung*, 59(1): 28-34.
- Sahin Kol, H., Sefil, Y., Aysal keskin, S., 2015. Effect of heat treatment on the mechanical properties and dimensional stability of fir wood. The XXVII international conference Research for furniture industry, Ankara, Turkey.
- Stamm, A., Burr, H., and Kline, A., 1946. Stayb-wood- "A heat stabilized wood," *Industrial Engineering Chemistry*. 38(6), 630-634.
- Yildiz, S., Gezer, D. and Yildiz, U., 2006. Mechanical and chemical behavior of Spruce wood modified by heat. *Building and Environment*, 41: 1762-1766.
- 62(3): 344-51.
- Gunduz, G., Aydemir, D. and Karakas, G., 2009. The effects of thermal treatment on the mechanical properties of wild Pear (*Pyrus elaeagnifolia* Pall). *Materials and design*, 30(10):4391-4395.
- Hakkou, M., Petrissans, M., El Bakali, I., Gerardin, P. and Zoulalian, A., 2005. Wettability changes and mass loss during heat treatments of wood. *Holzforschung*, 59(1): 35-37.
- Hoseinzadeh, F., Zabihzadeh, S.M. and Dastoorian, F., 2019. Creep behavior of heat treated beech wood and the relation to its chemical structure. *Construction and Building Materials*, 226: 220-226.
- Kim, G., Yun, K., and Kim, J., 1998. Effect of heat treatment on the decay resistance and the bending properties of radiate pine sapwood, *Material and Organisms*, 32(2), 101-108.
- Kocae, D., Younsi, R., Poncsak, S. and Kocae, Y., 2007. Comparison of different models for the high temperature heat-treatment of wood. *International Journal of Thermal Sciences*, 46(7): 707-716.
- Korkut, S., Akgul, M. and Dundar, T., 2008. The effect of heat treatment on some technological properties of scot pine (*pinus sylvestris* L.) wood. *Bioresource technology*, 99: 1861-1868.
- Mburu, F., Dumarcay, S., Bocquet, J. F., Petrissan, M. and Gerardin, P., 2008. Effect of chemical modifications caused by heat treatment on

## Effect of test temperature on creep behavior of heat treated velvet maple wood

F. Farhadi<sup>1</sup>, S.M. Zabihzadeh<sup>2</sup> and F. Dastoorian<sup>3\*</sup>

1-M.Sc., Graduated, Sari agricultural sciences and natural resources university, Dep. of Wood & Cellulosic Products Engineering, Sari, Mazandaran, Iran

2-Associate Prof., Sari agricultural sciences and natural resources university, Dep. of Wood & Cellulosic Products Engineering, Sari, Mazandaran, Iran

3\*-Corresponding author, Assistant Prof., Sari agricultural sciences and natural resources university, Dep. of Wood & Cellulosic Products Engineering, Sari, Mazandaran, Iran, Email: f.dastoorian@sanru.ac.ir

Received: Jan., 2019

Accepted: April, 2019

### Abstract

Extensive application of heat treated wood in exterior uses with high relative humidity and high temperature circumstances, necessitates the study of mechanical and creep behavior of wood under such situations. The objective of the present study was to investigate the effect of test temperature on creep behavior of heat treated velvet maple wood. Heat treatment was conducted on oven dried maple wood samples at three temperature levels of 160, 175 and 190°C. Four-point static flexural test was conducted for determination of the required load level for creep test in three replications at each treatment temperature levels. For conducting creep tests, three levels of test temperature of 21, 40 and 60°C and duration of 65 hours were considered. Results of flexural test showed that heat treatment led to decreasing the rupture modulus compared to the control one. However, the elastic modulus did not change significantly. Results of creep test showed that with increasing test temperature, both instantaneous and creep compliance values increased. With increasing treatment temperature, creep compliance was increased as well. Anti-creep efficiency ratio for evaluating the effect of test temperature on creep value at different levels of treatment showed that generally heat treatment led to decreasing the creep strength compared to the control ones. Heat treatment at temperature of 160°C led to improvement in creep behavior at higher test temperature. The reason was attributed to increased cellulose crystallinity and lignin condensation reaction, which led to lower plasticization of wood at higher test temperature.

**Keywords:** Heat treatment, creep behavior, temperature of creep test.